

محاسبه و مقایسه متغیرهای احتراق و شاخص‌های عملکرد موتورهای دیزل با سوخت جایگزین بیودیزل

حسین قدمیان^۱

*فریده عتابی^۱

Far-atabi@jamejam.net

شاھین قاهری^۲

تاریخ پذیرش: ۲۹/۱۱/۸۶

تاریخ دریافت: ۲۳/۵/۸۶

چکیده

روغن‌های گیاهی می‌توانند برای تولید ترکیبات شیمیابی که استر خوانده می‌شوند، با یک الکل (معمولًاً متانول) ترکیب شوند. در صورتی که این استرها به عنوان سوخت مورد استفاده قرار گیرند، بیودیزل نامیده می‌شوند. این سوخت قابل تجزیه بیولوژیکی است و هنگامی که به عنوان یک جزء ترکیبی مورد استفاده قرار می‌گیرد، نیازمند انجام حداقل تغییرات در موتور است.

نتایج محاسبات برای شاخص‌های تأثیرگذار بر نحوه احتراق سوخت نشان می‌دهد که ارزش حرارتی خالص برای ترکیب دمای بیودیزل و ۱۰٪ دیزل (B20) به میزان 18577 Btu/lb و برای سوخت دیزل به میزان 19159 Btu/lb می‌باشد. همچنین مقادیر دمای آدیاباتیک شعله سوخت به میزان 3199^0 F برای B20 و 3179^0 F برای سوخت دیزل محاسبه گردیده است.

در بررسی شاخص‌های تأثیرگذار بر عملکرد موتورهای دیزل با معرفی و محاسبه مقادیر بازده حرارتی موتور مدل با سوخت بیودیزل و سوخت دیزل مقادیر مشابه ۴۱٪ حاصل شد. همچنین توان اندیکه موتور مدل با سوخت دیزل به میزان $78/2 \text{ kW}$ و برای سوخت بیودیزل $75/7 \text{ kW}$ محاسبه شده است. بازده حجمی موتور دیزل نیز به عنوان سومین پارامتر تأثیرگذار بر روی عملکرد موتور معرفی شد و مقادیر آن ۱۳٪ برای موتور با سوخت B20 و ۱۰٪ برای سوخت دیزل محاسبه گردید. نتایج حاصل نشان دهنده تفاوت‌های بسیار جزئی در مقادیر شاخص‌های احتراق و عملکردی موتور برای دو سوخت یاد شده بوده و سوخت تجدید پذیر بیودیزل را با توجه به الزامات زیست محیطی و روند کاهش ذخایر فسیلی به عنوان یکی از اصلی ترین گزینه‌ها برای جایگزینی سوخت دیزل مورد توجه قرار می‌دهد.

واژه‌های کلیدی: بیودیزل، B100، B20، متغیرهای احتراق، تغییر و تبدیل استری، شاخص‌های عملکرد موتور.

۱- استادیار دانشکده محیط زیست و انرژی، واحد علوم و تحقیقات دانشگاه آزاد اسلامی تهران* (مسئول مکاتبات)

۲- کارشناس ارشد مهندسی انرژی، دانشکده محیط زیست و انرژی، واحد علوم و تحقیقات دانشگاه آزاد اسلامی تهران

مقدمه

مهم ترین تفاوت اساسی در ترکیبات بیودیزل و دیزل، محتوای اکسیژن می باشد. میزان اکسیژن موجود در دیزل صفر است، در حالی که بیودیزل حاوی ۱۰-۱۲٪ وزنی اکسیژن می باشد که باعث کامل تر شدن فرآیند احتراق این سوخت می شود. به علاوه بیودیزل عاری از گوگرد است، در حالی که در دیزل گوگرد وجود دارد که در سیستم آگزوز موتور به اکسیدهای گوگرد و سپس بخش زیادی از آن در آگزوز و یا محیط به اسید سولفوریک تبدیل می گردد. این اسید خود منجر به تولید ذرات ریز معلق می شود. بیودیزل به جز در شرایط خاص اساساً عاری از آروماتیک ها می باشد. در سوخت دیزل هیچ گونه پیوند دوگانه (الفینی) وجود ندارد، در حالی که در بیودیزل به واسطه حضور قابل ملاحظه محل های غیر اشباع پایداری در مقابل اکسیداسیون کم می باشد.

در جدول ۱ درصد غلظت آلاینده های منتشر شده در محیط ناشی از سوخت های B100 و B20 با سوخت دیزل معمولی مقایسه شده (۲).

بیودیزل (منو آلکیل استر) یک سوخت گازوئیلی پاک است که از منابع طبیعی و قابل تجدید مانند روغن های گیاهی و چربی حیوانات ساخته می شود. بیودیزل فاقد هر گونه مواد نفتی است ولی می توان برای تولید یک فرآورده نفتی آن را به هر نسبتی با گازوئیل مخلوط نمود. بیودیزل خالص را B100 و ترکیب ۲۰٪ از آن با ۸۰٪ سوخت دیزل را اصطلاحاً B20 می نامند. این سوخت بدون هیچ تغییرات اساسی قابل استفاده در موتورهای دیزل است.

جایگزینی بیودیزل به جای یک سوخت فسیلی منجر به کاهش انتشار آلاینده ها و در نتیجه کاهش روند پدیده گرمایش زمین می گردد. هنگامی که گیاهانی مانند سویا رشد و نمو می کنند CO_2 هوا را جذب می نمایند روغن این گیاهان پس از استخراج تحت فرآیند تولید بیودیزل به سوخت تبدیل می شود و پس از سوختن تولید CO_2 و آلاینده های دیگری می کند که به اتمسفر باز می گردد. این چرخه باعث افزایش غلظت CO_2 در هوا نمی شود، زیرا فتوسنتز گیاهان و نیاز آنها به CO_2 باعث ثابت ماندن میزان دی اکسید کربن در هوا می گردد (۱).

جدول ۱- مقایسه درصد غلظت آلاینده های محیط ناشی از سوخت های B100 و B20 در مقایسه با سوخت دیزل

B20	B100	نام آلاینده
-٪۲۰	-٪۶۷	هیدرو کربن های نسوخته
-٪۱۲	-٪۴۸	منو اکسید کربن
-٪۱۲	-٪۴۷	ذرات ریز معلق
٪۲	٪۱۰	NO_x
-٪۲۰	-٪۱۰۰	سولفات ها
-٪۱۳	-٪۸۰	هیدرو کربن های آروماتیکی چند حلقه ای PAH
-٪۵۰	-٪۹۰	nPAH ^۱
-٪۱۰	-٪۵۰	Ozone potential of speciated HC

1.Nitrated PAH

جدول ۲- مشخصات سوخت های دیزل بر اساس

استاندارد ASTM

سوخت شماره ۴	سوخت شماره ۲	سوخت شماره ۱	ASTM D975
۵۵	۵۲	۳۸	حداقل دمای اشتعال (°C)
۰/۰۵	۰/۰۵	۰/۰۵	حداکثر مقدار آب و رسوبات (% حجمی)
-	۰/۳۵	۰/۱۵	حداکثر مقدار کربن باقی مانده (%)
۰/۱	۰/۰۱	۰/۰۱	حداکثر خاکستر (%)
-۲۴ ۵/۵	-۴/۱ ۱/۹	-۲/۴ ۱/۳	گرانروی جنبشی 40^0C ($\times 10^{-9}\text{m}^2/\text{s}$)
۲/۰	۰/۰۵	۰/۰۵	حداکثر مقدار گوگرد (%)
درجه ۳	درجه ۳	درجه ۳	حداکثر مقدار خوردگی مس
۳۰	۴۰	۴۰	حداقل عدد ستان

در سال ۱۹۹۹ استاندارد جدیدی را برای سوخت بیودیزل با نام PS121-99 ارایه داد. همچنین در دسامبر سال ۲۰۰۱ استاندارد جدید D-6751 برای بیودیزل خالص(B-100) به تصویب رسید، این استاندارد مخلوطی از سوخت بیودیزل و گازوئیل تا سقف ۲۰٪ بیودیزل B20 را نیز دربر می‌گیرد (۶).

در جدول ۳ مشخصات ترمودینامیکی سوخت دیزل نوع دوم و همچنین سوخت بیودیزل با پایه روغن دانه سویا که به عنوان مبنای محاسبات در موتور دیزل مورد استفاده قرار گرفته، ارایه شده است (۲).

همان گونه که در جدول ۱ مشاهده می‌گردد، درصد غلظت کلیه آلینده‌ها برای سوخت بیودیزل اعم از B100 و B20 کمتر از سوخت دیزل معمولی است و تنها پارامتر NO_x است که به مقدار بسیار کم افزایش داشته است. بنابراین استفاده از بیودیزل باعث افزایش میزان آلینده‌های نیترات‌های اکسیژن NO_x در بسیاری از موتورها می‌شود. بیودیزل در ساختار خود نیتروژن ندارد، بنابراین افزایش NO_x مربوط به نیتروژن موجود در سوخت نمی‌باشد. NO_x تشکیل شده در موتور از نیتروژن موجود در هوای ورودی و واکنش آن در دمای بسیار بالا ناشی از احتراق در محفظه سیلندر ایجاد می‌گردد (۳).

مقایسه مشخصه‌های سوخت دیزل و بیودیزل

سوخت دیزل برش‌هایی از نفت خام به رنگ قهوه‌ای است که شامل اجزای تقطیر شده یا باقی مانده با چگالی نسبی معادل ۰/۸۷ است. سوخت‌های دیزل براساس نوع استفاده آنها و نیز براساس یک درجه بندی عددی طبقه بندی می‌شوند. انجمن آزمون و مواد امریکا^۱ این طبقه بندی را به صورت عددی برای سوخت‌های دیزل از شماره ۱ تا ۶ انجام داده است. سوخت دیزل شماره ۱ برای استفاده در هوای سرد تعریف شده و سوخت نوع دوم که دارای فراریت کمتری است، به عنوان متداول ترین نوع سوخت در خودروها معرفی شده است. همچنین سوخت نوع چهارم نیز برای استفاده در واحدهای ثابت که موتور دارای سرعت کمتری است ارایه گردیده است. در جدول ۲ مشخصات سه سوخت یاد شده بر اساس استاندارد ASTM D975 ارایه شده است (۴) و (۵).

جدول ۳- مشخصات سوخت دیزل نوع دوم و بیودیزل براساس استاندارد ASTM

D2	B100	واحد	مشخصات
C ₁₂ H ₂₆	C ₁₈ H ₃₄ O ₂	-	فرمول شیمیائی
۱۷۰	۲۹۶	gr	جرم ملکولی
۴۵	۴۹	-	اندیس سтан
۳۸	۱۳۰ حاصل	°C	نقطه اشتعال
۰/۰۵	۰/۰۵ حداکثر	% حجمی	آب و رسوبات موجود
۱/۸-۵/۵	۱/۹-۶	mm ² /s	گرانروی جنبشی
۰/۵	۰/۰۲ حداکثر	% mass	خاکستر گوگردی
حداکثر درجه ۳	حداکثر درجه ۳	-	خوردگی مس
۵۰	۴۷ حاصل	-	ستان
-۶	-۴-۰	°C	نقطه کدر شدن
-۲۷	۰	°C	نقطه ریزش
-۲۳	۲	°C	نقطه ابری
۰/۳۵	۰/۰۵ حداکثر	% mass	کربن باقی مانده
۰/۸۷-۰/۸۹	۰/۸۵	kg/m ³	چگالی در ۱۵°C

منابع و فرآیند تولید بیودیزل

استری^۱ شکل گرفت. در این فرآیند روغن گیاهی (یا چربی حیوانی) پس از عبور از فیلتر برای از بین بردن اسیدهای چرب آزاد، با قلیاً فرآیند می‌گردد، سپس با یک الکل (عموماً متانول) و یک کاتالیزور (عموماً هیدروکسید سدیم یا پتاسیم) ترکیب می‌شود. تری گلیسریدهای روغن برای تشکیل استرها و گلیسرول واکنش شیمیایی انجام داده و سپس از یکدیگر جدا شده و مورد تصفیه قرار می‌گیرند.

واکنش شیمیایی انجام گرفته در شکل ۱ نمایش داده شده است (۸). همان طور که مشاهده می‌شود، طی این واکنش مقدار ۱۰۰ پوند چربی یا روغن گیاهی (برای مثال روغن دانه‌های سویا) با ۱۰ پوند از یک الکل با زنجیره کوتاه که با ROH نمایش داده شده است (عموماً متانول و گاهی نیز اتانول)، در مجاورت کاتالیزور (عموماً هیدروکسید پتاسیم یا سدیم مخلوط با متانول) واکنش داده است و ۱۰ پوند گلیسرین و ۱۰۰ پوند بیودیزل به عنوان محصولات واکنش تولید گردیده،

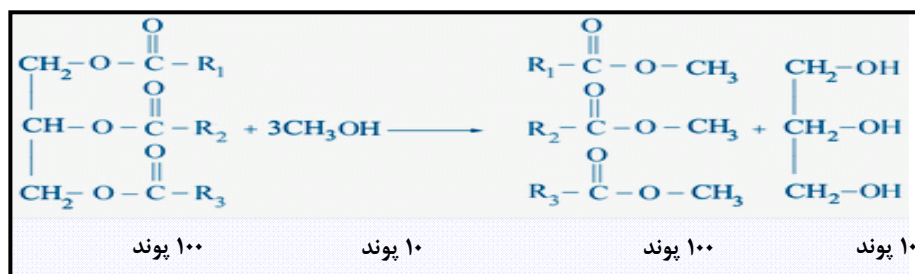
بخش عمده تمایلاتی که امروزه برای تولید بیودیزل وجود دارد، ناشی از ظرفیت بسیار بالای تولید سویا، تولیدات مازاد و کاهش قیمت‌ها است. متیل سویات، یا سویا دیزل که از واکنش متانول با روغن سویا حاصل می‌شود، اصلی‌ترین شکل بیودیزل در آمریکا می‌باشد. البته چربی‌های بلاستفاده حیوانی و روغن سوخته که به عنوان شبه گریس شناخته می‌شوند نیز منابع و ذخایر بسیار مناسبی می‌باشند. این منابع از روغن سویا ارزان‌ترند و به عنوان راهی برای کاهش هزینه‌های تامین مواد اولیه در نظر گرفته می‌شوند. بادام زمینی، پنبه دانه، گل آفتاب گردان و کنولا (گونه‌ای از دانه شلغم روغنی) نیز از منابع روغنی دیگرند. استرهایی که از هر یک از این منابع ساخته شده‌اند گرچه در میزان انرژی عدد ستان (مشابه اکتان بنزین) یا دیگر مشابهات فیزیکی کمی متفاوت می‌باشند، اما می‌توانند با موفقیت در موتورهای گازوئیلی مورد استفاده قرار گیرند (۷).

بر اساس آزمایش‌ها و پژوهش‌های انجام شده، اساس تولید بیودیزل به شکل امروزی بر پایه فرآیندی بنام تغییر و تبدیل

1 - Transesterification

linoleic، oleic، stearic، palmitic ترکیبات روغن‌ها و چربی‌ها می‌باشد (۸).

زنگیره اسیدهای چرب در این واکنش با R_1 و R_2 و R_3 نمایش داده شده است که همان‌گونه که اشاره شد مربوط به اسیدهای



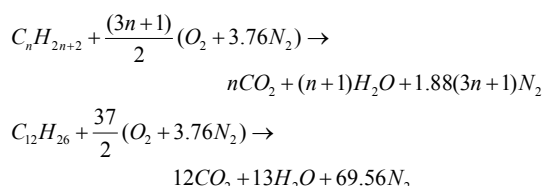
شکل ۱- واکنش تولید متیل استر و گلیسیرول

گیرد. در احتراق کامل کلیه عناصر موجود در سوخت به آخرین حد اکسیداسیون خود می‌رسند، لیکن در احتراق ناقص مقداری از مواد قابل اکسیدشدن در سوخت باقی می‌ماند و یا به عنوان اجزائی از گازهای خروجی به خارج هدایت می‌شود. در صورتی که احتراق صورت گیرد مقداری از مواد نسوخته فرار مانند CO ، CH_4 ، H_2 و HC اتمیزه شده نیز در دود وجود خواهد داشت (۱۰). با توجه به توضیحات ارایه شده معادلات احتراق سوخت دیزل و بیودیزل در شرایط انجام احتراق کامل به شرح ذیل خواهد بود:

واکنش‌های احتراق برای سوخت دیزل و بیودیزل
مراحل مختلف فرآیند احتراق یک ماده سوختنی برای سوخت
با فاز مایع به قرار زیر است (۹):

۱. به منظور افزایش تماس سوخت و هوای مایع پودر می‌شوند.
 ۲. قطرات سوخت مایع تبخیر شده و از احتراق گازهای حاصل با اکسیژن دمای قطره افزایش می‌یابد.
 ۳. ملکول‌های مایع در دمای معین تجزیه می‌شوند.
 ۴. قطره مایع از سطح می‌سوزد و در اثر گرم شدن حباب‌های بخار داخل قطره تشکیل می‌شوند و فرآیند فروپاشی قطره باعث تشدید احتراق می‌گردد.
- گازهای حاصل از احتراق سوخت اصطلاحاً دود نامیده می‌شوند فرآیند احتراق می‌تواند به طور کامل و یا به طور ناقص انجام

(معادله احتراق کامل سوخت دیزل)



متیل استر به عنوان مدل مطالعه موردی در نظر گرفته شده و محاسبات احتراق و معادله واکنش بر اساس فرمول شیمیایی این متیل استر انجام شده است.

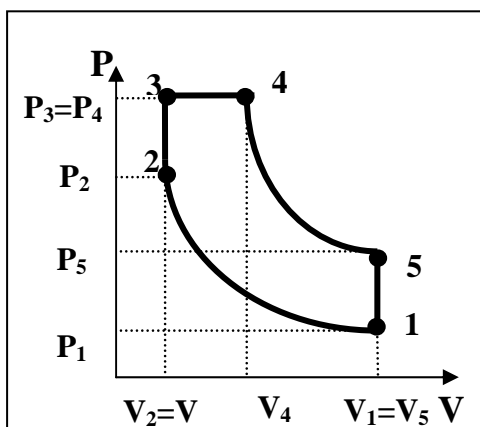
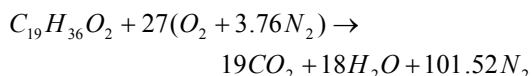
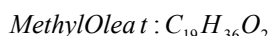
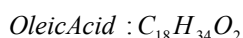
با توجه به این که روغن دانه سویا جزو پرصرف ترین منابع اولیه در تهیه و تولید سوخت بیودیزل بوده و متیل

با توجه به این که سوخت بیودیزل حاصل ترکیبی از متیل استرهای مختلف است، براساس نوع روغن گیاهی و یا موجودی که بیودیزل از آن تهیه می‌گردد، درصدهای ترکیبی مختلفی از این متیل استرهای تشکیل خواهد شد. با در نظر گرفتن این امر در معادلات احتراق برای سوخت بیودیزل یک

در محاسبات شاخص‌های موتور مدل استفاده شده است. براین اساس معادله احتراق این سوخت در شرایط احتراق کامل به صورت زیر می‌باشد:

اولیت ($C_{19}H_{36}O_2$) دارای بیشترین درصد موجود در سوخت حاصل از این روغن می‌باشد، از این ماده به عنوان نماینده متیل استر در نوشتن معادلات احتراق کامل و همچنین

(معادله احتراق کامل سوخت بیودیزل)



شکل ۲- چرخه هوا با فشار محدود شده

میزان بازده در چرخه فشار محدود به صورت زیر تعریف می‌شود (۱۱):

$$\eta_{th} = 1 - \left[\left(\frac{1}{r} \right)^{k-1} \right] \times \left[\frac{\alpha \cdot \beta^k - 1}{(\alpha - 1) + \alpha \cdot k \cdot (\beta - 1)} \right]$$

محاسبه شاخص‌های تاثیرگذار بر احتراق یک سوخت شاخص‌های ارزش حرارتی و دمای آدیباتیک شعله، اصلی ترین پارامترهای تاثیرگذار بر شرایط احتراق یک سوخت می‌باشند. این شاخص‌ها برای سوخت‌های دیزل محاسبه شده است.

۱- محاسبه ارزش حرارتی سوخت دیزل و بیودیزل

براساس تعریف ارزش حرارتی سوخت که مقدار حرارت آزاد شده در اثر احتراق کامل یک کیلوگرم سوخت جامد یا مایع و یا یک مترمکعب گاز می‌باشد، دو نوع ارزش حرارتی ناخالص (حده بالا) و ارزش حرارتی خالص (حد پایین) در نظر گرفته می‌شود.

چرخه هوای ترکیبی با فشار محدود

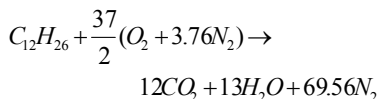
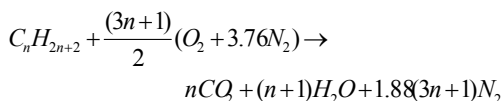
امروزه اغلب موتورهای دیزلی یا احتراق تراکمی C.I.E^۱ مطابق با چرخه هوای ترکیبی^۲ یا چرخه فشار محدود^۳ کار می‌کنند. عملکرد موتورهای دیزل در این چرخه از بالاترین میزان بازده برخوردار است. در این میان عملکرد موتورهای دور بالا دارای بیشترین بازده می‌باشد. موتورهای دیزل با حجم بالا دارای نسبت P_3/P_1 و میزان نسبت تراکم^۴ پایین هستند. این امر در حالی است که در این موتورها با افزایش میزان P_3/P_1 مقدار بازده افزایش می‌یابد^(۲).

مطابق شکل ۲ در چرخه هوا با فشار محدود، با افزایش نسبت P_3/P_2 سیکل به سمت فرآیند حجم ثابت هدایت می‌گردد و با کاهش این نسبت، فرآیند بسمت چرخه فشار ثابت میل می‌کند. به طور کلی وظیفه پمپ انژکتور در موتور دیزل تعیین فاصله نقطه ۲ تا ۴ است. بر این اساس محدوده نسبت P_3/P_1 برای موتورهای کم دور و حجم، متوسط و بزرگ و کوچک با دور بالا به ترتیب ۵۰، ۵۰ و ۹۰ تعریف می‌شود.

-
- 1- Compression Ignition Engines
 - 2- Mixed Air Cycle
 - 3- Limited Pressure Cycle

$$\Rightarrow \Delta H_{298}^0 = 11,194,010 \text{ kJ / kgmol} \\ = 37.817 \text{ MJ / kg} \equiv 1,626,131 \text{ Btu / lb}$$

- محاسبه اگررژی سوخت برای سوخت دیزل با استفاده از آنتالپی تشکیل ΔH_f



$$\Delta H_{298}^0 = 757,986 \text{ kJ / kgmol} \\ = 44.558 \text{ MJ / kg} \equiv 1,915,994 \text{ Btu / lb} \quad (۲)$$

- محاسبه اگررژی سوخت برای سوخت بیودیزل **B20**
- اکنون با استفاده از مقادیر محاسبه شده برای ارزش حرارتی سوخت بیودیزل خالص B100 و سوخت دیزل خالص، مقدار اگررژی سوخت بیودیزل B20 محاسبه می‌گردد.
- با توجه به درصد ترکیب سوخت B20 شامل٪۸۰ سوخت دیزل شماره ۲ و ٪۲۰ سوخت بیودیزل از نوع متیل اولیت، میزان اگررژی سوخت B20 از رابطه زیر محاسبه می‌شود :

$$Q_{NHV(B20)} = (20\% \times Q_{NHV(B100)}) + (80\% \times Q_{NHV(D2)}) \\ Q_{NHV(B20)} = 18,577.968 \text{ Btu / lb} \quad (۳)$$

۲- محاسبه دمای آدیابتیک شعله برای سوخت دیزل و بیودیزل

بر اساس الگوریتم طراحی شده، مقادیر کسر مولی جزء هر یک از اجزای احتراق ترکیبات سوخت با استفاده از معادلات احتراق کامل که پیش از این بیان گردید، محاسبه می‌گردد. همچنین مقادیر مربوط به تغییرات آنتالپی محصولات احتراق با استفاده از مقادیر ارزش حرارتی خالص محاسبه شده در بخش قبل قابل محاسبه می‌باشد. مطابق با الگوریتم طراحی شده گام‌های ۴ تا ۶ به منظور محاسبه دقیق ترین میزان برای دمای آدیابتیک شعله اجرا می‌گردد (۹).

با توجه به این که حرارت محسوس^۱ حرارتی است که در اثر تغییر دمای یک ماده، بدون تغییر حالت آوتروپیک جذب یا دفع می‌شود و حرارت نهان^۲ حرارتی است که در اثر تغییر حالت یک ماده بدون تغییر دما جذب یا دفع می‌گردد، لذا ارزش حرارتی کل مشتمل بر مجموع حرارت‌های محسوس و نهان بوده لیکن ارزش حرارتی خالص تنها شامل حرارت محسوس است (۱۰) :

$$\begin{aligned} \text{Gross Heating Value} &= \\ \text{Sensible Heat} + \text{Latent Heat} & \\ \text{Net Heating Value} &= \text{Sensible Heat} \end{aligned}$$

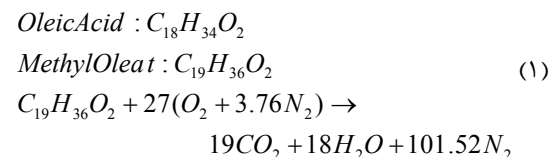
براساس مفاهیم ذکر شده مقادیر ارزش حرارتی سوخت بیودیزل و دیزل در شرایط احتراق کامل (استوکیومتری) با استفاده از روش آنتالپی تشکیل ^۳ ΔH_f مدنظر قرار گرفت. بر اساس این روش اگررژی سوخت را می‌توان از تغییرات آنتالپی تشکیل ΔH_f در دو طرف معادله احتراق محاسبه نمود. برای این منظور کافی است با در اختیار داشتن آنتالپی تشکیل ΔH_f هر یک از عناصر دو طرف معادله احتراق و بر اساس معادلات ذیل آنتالپی سوخت را محاسبه نمود (۹) :

$$aA + bB \rightarrow cC + dD$$

$$\Rightarrow \Delta H_{298}^0 = \sum_p n_p (\Delta H_f^0)_p - \sum_R n_R (\Delta H_f^0)_R$$

بر اساس معادلات یاد شده محاسبه مقادیر اگررژی سوخت برای هریک از سوخت‌های دیزل و بیودیزل با استفاده از آنتالپی صورت می‌پذیرد.

- محاسبه اگررژی سوخت برای سوخت بیودیزل با استفاده از آنتالپی تشکیل ΔH_f



-
- 1- Sensible Heat
 - 2- Latent Heat
 - 3- ΔH of formation

شعله ارایه گردیده است.

در جدول ۴ مراحل اجرای الگوریتم محاسبه دمای آدیاباتیک

جدول ۴- الگوریتم محاسبه دمای آدیاباتیک شعله

۱	تعیین دمای مرجع و تعیین فرض اولیه برای دمای آدیاباتیک شعله	تعیین دمای اولیه $T_0 = 60^F$ دمای واکنش $T_{reaction} = 3000^F$ دمای آدیاباتیک
۲	محاسبه کسر مولی جزء محصولات احتراق از معادلات احتراق کامل سوخت	براساس معادلات احتراق کامل برای دیزل و بیودیزل
۳	استخراج مقادیر ظرفیت گرمایی جزئی برای هر یک از محصولات احتراق بر اساس دمای آدیاباتیک شعله فرض شده	$T_{af} \Rightarrow C_p$
۴	محاسبه ظرفیت گرمایی ویژه در فشار ثابت با استفاده از مقادیر کسر مولی و ظرفیت گرمایی جزء	$C_{P_{av}}^l = \sum_{i=1}^3 y_i C_{p_{li}}$
۵	نوشتن معادله تغییرات انثالپی و محاسبه تغییرات انثالپی محصولات احتراق با استفاده از مقادیر محاسبه شده ارزش حرارتی خالص و جرم ملکولی سوخت	$\Delta H_r + \Delta H_R + \Delta H_p = 0$ $\Delta H_r = -\Delta H_p$ $\Delta H_r = m_f \times NHV$
۶	محاسبه دمای آدیاباتیک شعله بر مبنای تغییرات انثالپی محصولات احتراق، تعداد مول محصولات و دمای مرجع	$\Delta H_p = n \cdot C_{P_{av}}^l (T_{af1} - T_0)$
۷	استخراج مقادیر جدید ظرفیت گرمایی ویژه با استفاده از مقدار جدید دمای آدیاباتیک شعله	$T_{af(i)} \Rightarrow C_{p(i)}$
۸	انجام مراحل ۴ تا ۶ جهت محاسبه دقیق ترین میزان دمای شعله آدیاباتیک	$T_{af(Final)}$

جدول ۶- محاسبه دمای آدیاباتیک شعله برای سوخت دیزل (درجه فارنهایت)

حدس اولیه	T_1	T_2	T_3
۳۰۰	۳۹۴,۶,۹۱	۳۸۶,۷,۸۴	۳۸۷,۹,۶۶

بر این اساس دمای آدیاباتیک شعله برای سوخت دیزل پس از انجام سه مرتبه سعی و خطأ در محاسبات و همگرایی نهایی پاسخ با دقت مطلوب بدین ترتیب محاسبه می شود:

$$T_{af(D2)} = 387,9.667^F \quad (5)$$

جدول های ۵ و ۶ نتایج محاسبات را برای مقادیر دمای آدیاباتیک شعله نشان می دهند، براساس محاسبات انجام شده مقادیر نهایی پس از سه بار سعی و خطأ حاصل شده است.

جدول ۵- محاسبه دمای آدیاباتیک شعله برای سوخت بیودیزل (درجه فارنهایت)

حدس اولیه	T_1	T_2	T_3
۳۰۰	۳۹۶,۷,۳۹	۳۸۹,۴,۹۴	۳۸۹,۹,۱۸

بنابراین دمای آدیاباتیک شعله برای سوخت بیودیزل محاسبه می شود:

$$T_{af(B100)} = 389,9.18^F \quad (4)$$

جدول ۷- مشخصات موتور دیزل چهار زمانه مدل

$n = 4$	تعداد سیلندر
$L = 10"$	طول لوله ورودی
$D = 30"$	قطر لوله ورودی
$r = 16$	نسبت تراکم
$r.h = 30\%$	درصد رطوبت نسبی
$T_i = 528^{\circ}R$	دماهی ورودی
$b = 3.875"$	قطر سیلندر
$s = 5"$	کورس
$P_i = 12.5 \text{ psi}$	فشار ورودی
$D_i = 1.75"$	قطر سوپاپ
$O.L = 20^{\circ}$	زاویه روی هم افتادگی
$T_c = 640^{\circ}R$	دماهی سیال خنک کن
$N = 2000 \text{ rpm}$	دور موتور
$P_e = 14.7 \text{ psi}$	فشار خروجی
$\dot{M}_f = Cte$	جریان جرمی سوخت
$F_R = 0.9$	نسبت سوخت به هوای نسبی
$I.C.ABC = 60^{\circ}$	زاویه بسته شدن سوپاپ ورودی
$T_o = 560^{\circ}R$	دماهی ورودی مبنای

- محاسبه نسبت سوخت به هوای صحیح برای سوخت دیزل و بیودیزل

به منظور انجام محاسبات شاخصهای موتور دیزل ضروری است تا نسبت سوخت به هوای صحیح به عنوان یک پارامتر اساسی محاسبه شود، این محاسبه بر اساس تعریف ذکر شده برای F_c و با استفاده از معادلات احتراق کامل جهت محاسبه ارزش حرارتی سوخت دیزل و بیودیزل، انجام می‌گیرد:

(6)

$$\begin{aligned} C_{12}H_{26} + 37/2(O_2 + 3.76N_2) &\rightarrow \\ 12CO_2 + 13H_2O + 69.56N_2 & \\ F_{C(D2)} = (M_{Fuel}/M_{Air})_{D2} &= 0.0669 \end{aligned}$$

و به همین ترتیب برای محاسبه F_c سوخت بیودیزل می‌توان نوشت:

(7)

$$\begin{aligned} C_{19}H_{36}O_2 + 27(O_2 + 3.76N_2) &\rightarrow \\ 19CO_2 + 18H_2O + 101.52N_2 & \\ F_{C(B100)} = (M_{Fuel}/M_{Air})_{B100} &= 0.07986 \end{aligned}$$

محاسبه شاخصهای اصلی موتور دیزل مدل برای سوختهای دیزل و بیودیزل

با توجه به این که سه شاخص توان خروجی موتور، بازده حرارتی اندیکه و همچنین بازده حجمی به عنوان پارامترهای تاثیرگذار بر روی میزان شتاب گیری به عنوان مشخصه‌های اصلی در یک موتور دیزل محسوب می‌شوند، این مشخصه‌ها در یک موتور مدل برای سوختهای دیزل و بیودیزل محاسبه و با یکدیگر مقایسه گردیدند.

بدین منظور با انتخاب یک موتور چهار زمانه به عنوان مطالعه موردی و استفاده از یک الگوریتم طراحی مبتنی بر روش تیلور^۱ و روابط تجربی مشتق شده از آن این شاخصهای محاسبه می‌گردد.

سوخت بیودیزل از نوع متیل اولیت با منشاء گیاهی دانه سویا و ترکیب B20 به عنوان نماینده سوخت بیودیزل و مطالعه موردی در کلیه محاسبات مورد استفاده قرار گرفت. دلیل این انتخاب عدم اعمال هرگونه تغییرات در ساختار موتور دیزل به هنگام استفاده از سوخت 20 است. بر این اساس کلیه شاخصهای محاسبه شده شامل ارزش حرارتی و دماهی آدیباتیک شعله مطابق با مشخصه‌های فیزیکی و شیمیابی ترکیب B20 محاسب گردیده است.

با توجه به فرضیات صورت گرفته، برای محاسبه شاخصهای مورد نظر در موتور با سوخت B20، مخلوطی کاملاً هموزن شامل ۲۰٪ سوخت بیودیزل از نوع متیل اولیت و ۸۰٪ از سوخت دیزل شماره ۲ معرفی می‌گردد.

• انتخاب موتور مدل برای طراحی

مشخصه‌های مربوط به موتور دیزل چهارزمانه با حجم متوسط و منیفولد بلند که به عنوان موتور مدل در طرح استفاده می‌شود، در جدول ۷ ارایه است.

شرایط کارکرد موتور درهنگام استفاده از این سوخت به جای سوخت دیزل، میزان نسبت سوخت به هوا ثابت باقی خواهد ماند. با جای گذاری رابطه (۸) برای تعیین میزان F_R جدید

می توان نوشت :

$$F_R = \frac{F}{F_C} = \frac{0.05994}{0.07039} \Rightarrow F_R = 0.851 \quad (10)$$

• طراحی الگوریتم محاسبه شاخص های عملکردی موتور دیزل مدل

در شکل ۳ فلودیاگرام طراحی شده جهت محاسبه شاخص های عملکردی موتور دیزل، شامل کلیه مراحل محاسبه شاخص های مربوطه برای دو ترکیب D2 و B20 ارایه شده است. این طراحی براساس معادلات استخراج شده از روش تجربی تیلور و با توجه به ترتیب و توالی نیازمندی های پارامترهای شرکت کننده در هر معادله برای محاسبه ۳ شاخص عملکردی معرفی شده صورت پذیرفته است.

براساس مقادیر محاسبه شده برای سوخت دیزل و بیودیزل خالص، میزان نسبت سوخت به هوای صحیح برای سوخت بیودیزل B20 به صورت زیر محاسبه می گردد:

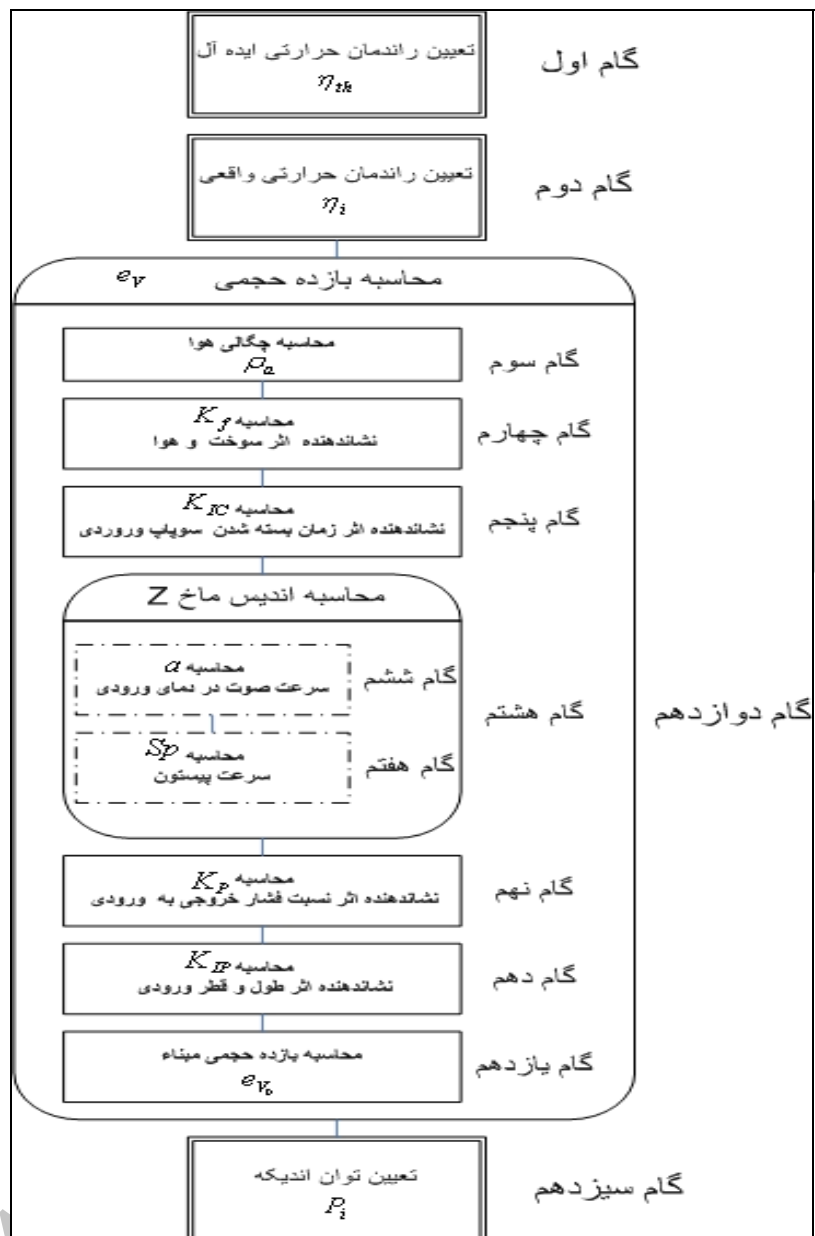
$$F_{C(B20)} = \frac{[(80\% \times M_{Fuel(D2)}) + (20\% \times M_{Fuel(B100)})]}{[(80\% \times M_{Fuel(D2)}) + (20\% \times M_{Fuel(B100)})]} = 0.07039 \quad (8)$$

• محاسبه میزان نسبت سوخت به هوای نسبی F_R برای B20 سوخت بیودیزل

با توجه به این که محاسبه شاخص های اساسی موتور با سوخت دیزل خالص مطابق با فرضیات اولیه و بر اساس نسبت سوخت به هوای نسبی $F_R = 0.9$ انجام می پذیرد، در محاسبات مربوط به سوخت بیودیزل با توجه به ارتباط این مشخصه با مقادیر F و F_C به صورت زیر (۱۱) :

$$F_R = F/F_C \quad (9)$$

می توان مقدار F_R جدید را محاسبه نمود. با استناد به مهم ترین ویژگی سوخت B20 یعنی عدم هرگونه تغییرات در



شکل ۳- فلودیاگرام انجام محاسبات مربوط به تعیین شاخص های اصلی موتور دیزل

همچنین جدول ۸ مراحل محاسبات شاخص های

اساسی موتور دیزل مدل شده را مطابق با فلوچارت طراحی شده
نشان می دهد(11).

جدول ۸- الگوریتم محاسبه برای شاخص های اصلی احتراق

شرح عملیات	
محاسبه بازده حرارتی ایده آل با استفاده از نمودار محاسبه η_{th} برای چرخه فشار محدود شده(با استفاده از پارامترهای T_i, F_R, r)	گام اول
محاسبه بازده حرارتی واقعی با استفاده از نمودار محاسبه بازده گرمایی واقعی در چرخه فشار محدود شده با استفاده از پارامترهای F_R, η_{tho}, m_f	گام دوم
محاسبه جگالی هوا ρ_a $\rho_a = \frac{29 \cdot p_i}{R \cdot T_i} \cdot \left[\frac{1}{1 + \frac{29}{m_f} \cdot F_i + 1.6 h} \right]$	گام سوم
محاسبه K_f ، پارامتر نشان دهنده اثر نسبت سوت و هوا بر بازده حجمی با استفاده از دیاگرام F_R بر حسب K_f	گام چهارم
محاسبه K_{IC} ، پارامتر نشان دهنده اثر زمان بسته شدن سوپاپ ورودی بر بازده حجمی که براساس طول منیفولد محاسبه می شود	گام پنجم
محاسبه a سرعت صوت در دمای ورودی $\frac{a}{\sqrt{T_i}} = 41.399 \times \sqrt{\frac{0.24 + 6.448 h}{0.1715 + 0.334 h}}$	گام ششم
محاسبه Sp سرعت پیستون $Sp = 2.N.S$	گام هفتم
محاسبه Z اندیس ماخ $Z = \left(\frac{b}{D_i} \right)^2 \cdot \frac{Sp}{C_i \cdot a}$	گام هشتم
محاسبه K_p ، پارامتر نشان دهنده اثر نسبت فشار خروجی به ورودی بر بازده حجمی با استفاده از دیاگرام محاسبه K_p بر حسب تغییرات P_e/P_i و r برای روی هم افتادگی جزئی سوپاپ ها	گام نهم
محاسبه K_{IP} ، پارامتر نشان دهنده اثر طول و قطر ورودی بر بازده حجمی با استفاده از پارامترهای نسبت طول لوله ورودی به کورس پیستون، نسبت قطر لوله ورودی به قطر سیلندر و اندیس ماخ می توان وارد دیاگرام K_{IP} شد.	گام دهم
محاسبه e_{V_0} بازده حجمی مبنا، استفاده از دیاگرام محاسبه e_{V_0} بر حسب Z و طول لوله منیفولد	گام یازدهم
تعیین e_V بازده حجمی موتور با استفاده از پارامترهای محاسبه شده از دیدگاه مشخصه های ساختار موتور	گام دوازدهم
$e_v = e_{V_0} \cdot \sqrt{\frac{T_i}{T_o}} \cdot \left(\frac{T_{C_0} + 2000}{T_C + 2000} \right) \times K_p \times K_f \times K_{IC} \times K_{IP}$	
تعیین P_i ، توان اندیکه $P_i = \frac{J}{4} \cdot \rho_a \cdot e_v \cdot A_p \cdot S_p \cdot (F \cdot Q_{CL} \cdot \eta_{th})$	گام سیزدهم

مقادیر سه شاخص یاد شده با انجام محاسبات

سیزده مرحله ای مطابق با جدول ۸ و براساس مشخصه های

بازده حجمی و توان خروجی محاسبه شده را نشان می دهد.

هر یک از سوخت های مذکور و همچنین نتایج حاصل در بخش
های قبل حاصل می شود. جدول ۹ مقادیر بازده حرارتی اندیکه،

جدول ۹- نتایج محاسبات سه شاخص اصلی احتراق برای دو سوخت دیزل و B20

نوع سوخت	بازده حرارتی اندیکه	بازده حجمی	توان خروجی
B20	$\eta_i = 0.399$	$e_v = 0.84$	$P_i = 75.7$
D2	$\eta_i = 0.420$	$e_v = 0.84$	$P_i = 78.2$

ناشی از احتراق ترکیب B20 به طور متوسط بین ۱۲ تا ۲۰٪ نسبت به سوخت دیزل خالص کاهش داشته است. با وجود این که به خاطر استفاده از سوخت های فسیلی در فرآیند تولید بیودیزل چرخه گاز CO_2 با سوخت بیودیزل یک چرخه کامل نیست، اما جایگزینی بیودیزل با سوخت دیزل منشاء نفتی چرخه CO_2 را تا میزان ۷۸٪ در مورد سوخت B100 و تا میزان ۱۵٪ در مورد سوخت B20 کاهش می دهد.

با وجود این که افزایش میزان اکسیدهای نیتروژن برای ترکیبات بیودیزل اندک بوده و این میزان افزایش برای ترکیب B20 در حدود ۲٪ است، اما فعالیت هایی نظیر اضافه نمودن مواد افروندی به سوخت و همچنین تمهدیاتی برای کم کردن دمای محفظه احتراق به منظور کاهش میزان NO_x خروجی در حال انجام است.

-۲- محاسبات انجام شده در خصوص ارزش حرارتی هر یک از سوخت های دیزل و بیودیزل به عنوان یکی از دو شاخص تاثیرگذار بر شرایط احتراق نشان دهنده بالاتر بودن میزان ارزش حرارتی سوخت دیزل شماره ۲ نسبت به بیودیزل خالص و B20 است. در جدول ۱۰ مقادیر محاسبه شده از دو روش مذکور با هم مقایسه شده است که نشان دهنده اختلاف کم در نتایج محاسبات و همچنین صحت روش های محاسبه است.

همان طور که در نتایج حاصل در جدول ۹ مشاهده می شود، با وجود اختلاف در مشخصه های دو سوخت دیزل و بیودیزل و همچنین مقادیر نسبت سوخت به هوای نسبی، یکسان شدن میزان بازده حجمی برای دو سوخت یاد شده توجیه پذیر نمی باشد. علت این نتایج را می توان در گرایش معادله تعیین میزان بازده حجمی و ماهیت پارامترهای تشکیل دهنده آن به مشخصه های ساختاری موتور مورد استفاده دانست. لذا برای رسیدن به نتایج دقیق تر از مقادیر بازده حجمی از معادله دومی که پارامترهای آن تابعی از مشخصه های ترکیب سوخت هستند، استفاده شده و مقادیر جدید برای شاخص بازده حجمی محاسبه گردید (۱۲).

$$e_v = \frac{2m_a}{\rho_a \cdot N \cdot V_d} = \frac{4m_a}{\rho_a \cdot A_p \cdot S_p} \quad (11)$$

بر اساس دیدگاه جدید میزان بازه حجمی محاسبه شده برای سوخت دیزل $e_v = 0.793$ و برای سوخت بیودیزل به میزان $e_v = 0.830$ محاسبه گردید.

جمع بندی نتایج و پیشنهادها

نتایج حاصل از محاسبات و تحلیل های انجام گرفته به شرح زیر است :

-۱- با توجه به نتایج ارایه شده در جدول ۱ در خصوص وضعیت تغییرات میزان آلاینده ها، افزایش درصد ترکیب بیودیزل در سوخت، کاهش چشمگیر مقادیر شاخص های آلاینده را به دنبال خواهد داشت. بر این اساس آلاینده های مونوکسید کربن، ذرات معلق، هیدروکربن های نسوخته و سولفات های

- ۴- نتایج محاسبات سه شاخص عملکردی ذکر شده در جداول ۷، ۸ و ۹ را می‌توان مطابق موارد مشروح ذیل بررسی نمود:
- ۱-۴- میزان بازده حرارتی اندیکه سوخت دیزل بالاتر از سوخت B20 می‌باشد. این اختلاف از وابستگی مقادیر η_{th} به عنوان تابعی از F_R (نسبت سوخت به هوای نسبی) و همچنین F_C (نسبت سوخت به هوای کامل) ناشی می‌شود. براین اساس اختلاف اندک بازده حرارتی اندیکه برای سوخت دیزل و B20 عدم نیاز به هرگونه تغییرات در ساختار یک موتور دیزل را برای استفاده از سوخت B20 تأیید می‌نماید.
- ۴-۲- علل یکسان شدن میزان بازده حجمی برای دو سوخت دیزل و B100 که مطابق با گام ۱۲ از جدول ۸ محاسبه شده است، عدم وابستگی پارامترهای تشکیل دهنده آن اما همان طور که مشاهده شد با محاسبه بازده حجمی از معادله ۱۱ که پارامترهای آن تابعی از مشخصه‌های ترکیب سوخت هستند، میزان بازده حجمی بالاتری برای ترکیب B20 محاسبه گردید. این پارامتر که در واقع به عنوان تاثیرگذارترین عامل در شتاب گیری است، به عنوان معیاری از عملکرد اجزای موتور در پمپاژ هوای ورودی به سیلندرها معرفی می‌شود و در واقع یک معیار سنجش کیفی برای موتور می‌باشد.
- ۴-۳- براساس معادله بیان شده در گام سیزدهم از جدول ۸ محاسبه مشخصه‌های احتراق، ظرفیت هوایپذیری و ارزش حرارتی سوخت و همچنین η_{th} بازده حرارتی ایده آل از مهم‌ترین شاخص‌های تاثیرگذار بر روی میزان توان خروجی موتور هستند، زیرا پارامترهای ρ_a چگالی هوای A_p سطح مقطع پیستون، Sp سرعت کورس پیستون ثابت بوده و نوع سوخت محترق شده در موتور مدل تغییری در این شاخص‌ها نمی‌دهد. بر این اساس مطابق جدول ۹ میزان P_{th} یا توان خروجی موتور مدل با سوخت دیزل خالص با اختلاف اندکی بالاتر از توان خروجی برای سوخت B20 است. با توجه به نتایج حاصل، سوخت تجدید پذیر بیودیزل با متوسط درصد پایین تر انتشار آلایندها و همچنین شرایط مناسب و آسان تر نگه داری و

جدول ۱۰- مقادیر محاسبه شده ارزش حرارتی برای سه

Btu/lb B100 و B20 بر حسب

Diesel No.2	B20	B100
19,159.94	18,557.96	16,261.31

تأثیر این اختلاف را می‌توان در محاسبه شاخص‌های عملکردی موتور دیزل بر روی مقادیر توان خروجی برای هر یک از ترکیبات سوخت مشاهده کرد.

۳- بر اساس محاسبات انجام شده دمای آدیباتیک شعله برای سوخت B100 به میزان 3879^0F و برای سوخت D2 به میزان 3879^0F محاسبه شد. براین اساس دمای آدیباتیک شعله برای سوخت بیودیزل بالاتر از سوخت دیزل است. از جمله دلایل این اختلاف وجود اکسیژن در ساختار سوخت بیودیزل است که با شرکت در فرآیند احتراق باعث بالا رفتن دما می‌شود. دمای آدیباتیک شعله از جمله پارامترهای تاثیرگذار بر شرایط کارکرد موتور است و می‌تواند در زمان احتراق سوخت، سرعت حرکت جبهه شعله و پدیده خوداشتعالی تاثیر گذارد باشد. براین اساس در فرآیند احتراق مخلوط هموژن B20 عمل اشتعال در نقطه شروع احتراق با سوختن ملکول‌های دیزل آغاز شده و ملکول‌های بیودیزل اندکی پس از آن و با بالا رفتن دمای محفظه احتراق تا دمای خود اشتعالی آن‌ها محترق می‌شوند، نتیجه آن که فرآیند احتراق سوخت B20 همانند احتراق با سوخت دیزل خالص از نظر سیکل فرآیند در نقطه اشتعال مشابه روی می‌دهد. احتراق دو مرحله ای در پیستون شامل احتراق اولیه سوخت دیزل و احتراق ثانویه بیودیزل باعث تشکیل دو جبهه شعله در محفظه احتراق می‌گردد. وقوع پدیده کوبش^۱ از نتایج دو جبهه ای شدن شعله در محفظه احتراق است که باعث تلفات در قدرت خروجی می‌گردد.

افزایش تقاضا برای مصرف انرژی، کاهش ذخایر انرژی با منشاً فسیلی و همچنین سیاست گذاری های کلان در زمینه اعمال محدودیت های سخت گیرانه تر در خصوص آلایinde های زیست محیطی این رقابت را جدی تر می نماید. در جدول ۱۱ مشخصه های موتور دیزل نشان داده شده است.

انتقال به سبب مشخصه های شیمیایی آن از جمله دمای اشتعال بالاتر نسبت به سوخت دیزل و اختلاف جزئی در میزان شاخص های عملکردی در احتراق، می تواند به عنوان گزینه ای جدی برای جایگزینی سوخت دیزل با منشاً فسیلی مورد توجه قرار گیرد. این امر در حالی است که عواملی چون روند

جدول ۱۱ - فهرست مشخصه های موتور دیزل

نشانه	شرح	واحد
b	قطر سیلندر	inch
s	کورس پیستون	inch
A_p	سطح مقطع پیستون	ft ²
V_d	حجم جابجایی پیستون	ft ³
V_T	ظرفیت حجمی موتور	ft ³
r	نسبت تراکم	-
J	ثابت ابعادی،	ft.lbf/Btu
\dot{M}_a	دبی جرمی جریان هوا	ft ³ /sec
\dot{M}_f	دبی جرمی جریان سوخت	gr/sec
F	نسبت جرمی سوخت به هوا	-
F_c	نسبت سوخت به هوای صحیح	-
F_R	نسبت سوخت به هوای نسبی	-
Q_c	ارزش حرارتی سوخت	Btu /lb
HHV	ارزش حرارتی بالاتر	Btu /lb
NHV	ارزش حرارتی خالص	Btu /lb
P_i	توان اندیکه	kW
P_b	توان ترمی	kW
η_{th}	بازده حرارتی موتور	%
η_m	بازده مکانیکی	%
e_v	بازده حجمی موتور	%
e'_v	بازده حجمی مانده	%
K_f	پارامتر اثر نسبت سوخت و هوا بر بازده حجمی	-
K_{IC}	پارامتر اثر زمان بسته شدن سوپاپ ورودی بر بازده حجمی	-
a	سرعت صوت در دمای ورودی	ft/sec
K_P	پارامتر اثر نسبت فشار خروجی به ورودی بر بازده حجمی	-
K_{IP}	پارامتر اثر طول و قطر بر بازده حجمی	-
Z	اندیس ماخ	-

α	نسبت P_3/P_2 در چرخه فشار محدود	-
β	نسبت V_4/V_3 در چرخه فشار محدود	-
k	نسبت C_p/C_v	-
n_P	ضریب مولی محصولات احتراق	-
n_R	ضریب مولی واکنش دهندها	-

منابع

8. Van Gerpen J., Shanks B., Pruszko R., Clements D. & Knothe G., 2004, Van Gerpen J., Shanks B., Pruszko R., Clements D. & Knothe G., 2004, "Biodiesel Production Technology, National Renewable Energy Laboratory
۹. طوبی - حسن، ۱۳۸۱، "مبانی طراحی کوره های صنعتی"， تألیف، انتشارات دانشگاه صنعتی اصفهان
10. امیدی کاشانی - بهزاد، ۱۳۸۳، "محاسبات و تئوری احتراق"， ترجمه، انتشارات وازگان خرد-دانشگاه بیرجند
11. پیروزپناه - وهاب، ۱۳۷۶، "موتورهای احتراق داخلي"， ترجمه، جلد اول، انتشارات مرکز نشر دانشگاهی
12. Ferguson R. & Kirkpatrick Allan T., 2000, "Internal Combustion Engines Applied Thermo sciences", 2nd Edition, Jhon Wiley & Sons Inc.
1. www.Biodiesel.org / Standards & Warranties.htm
2. Shaine Tyson K., 2006, "Biodiesel Handling and Use Guideline, 2nd version, U.S Department of Energy
3. EPA office, 2004, "Cleaner Diesel Handbook", Environmental Defense
4. Chevron Products Company, 1998, Diesel Fuel Technical Review, Chevron U.S.A Inc.
5. Mahon L. L. J., 2004, "Diesel Generator Handbook, Elsevier Butterworth-Heinemann
6. National Biodiesel Board: <http://www.biodiesel-intl.com/index.htm>
7. Van Gerpen J., 2005, "Biodiesel Processing & Production", Fuel Processing Technology Journal